

軟弱地盤の圧密況下の推定にはJIS A 1217の圧密試験法によって求められる体積圧縮係数および圧密係数が用いられている。この試験結果の解析には一次元圧密理論の基礎方程式がそのまま適用されている。圧密試験機の機構上、載荷重と試料底部の載荷重によって生じる反力との間に差がある。このことはTaylorを始めとしてH. Muhs and M. Kany, S. Hanab, 石井, 倉田, 柴田, 中瀬等も実測して研究を行っている。しかしいずれも圧密基礎方程式の誘導まで至っていないため、最終況下量については何とか補正できるが、その時間経過については何等の明解な結論をえていない。著者は側面摩擦の性質について基本的な実験を行い、その結果を基にして、荷重増加率、側面摩擦を考慮した圧密基礎方程式を誘導し、圧密最終状態、時間経過について、側面摩擦および荷重増加率の影響について興味ある結論を得たので、以下順次説明する。先づ側面摩擦の恒変について次の結論を述べる

- 1) 側面摩擦抵抗力は有効応力に比例する。
- 2) 側面摩擦抵抗力は試料の先行荷重に大きく影響するが、先行荷重に相当する側面摩擦抵抗力が試料セツト直後から働くと考えた式と等しいが、非常によく実験値と一致する。

$$\frac{\sigma_p}{\sigma} = \left(1 + \frac{R}{r}\right) e^{-2\lambda \frac{z}{H}} - \frac{R}{r} \quad \dots \dots \dots (1)$$

ここに σ_p : 圧密終了時試料の載荷重から $\frac{z}{H}$ の所に働く圧密荷重 (圧密最終時有効応力)

σ : 試料の先行荷重, λ : 側面摩擦係数 (載荷重に対するの係数)

R : 試料の半径, H : 試料厚さ, $A = \frac{z}{H}$

- 3) (1)式によって求められる側面摩擦係数は真鍮率板と試料の摩擦係数の凡そ $\frac{1}{2}$ となっている。このことは面垂直反力が $\frac{1}{2}$ と考へることが出来る。(特殊三軸圧密試験では $\frac{40\%}{\sigma_1} \approx 0.49$)
- 4) 一般に土と面との摩擦抵抗力はそれらの相対移動量によって変化し、0.20~0.25mmの移動量までは移動量に比例して増大し、最大値に達した後は漸次減少して、最大値の0.8~0.9になって一定値となる。
- 5) 側面摩擦係数は土の塑性指数と密接な関係にあり、塑性指数の増大と共に大きくなり、その増加率はほぼ一定である。

次にこの結論を基にして、圧密試験時の側面摩擦抵抗力を考慮した圧密基礎方程式の誘導を行う。誘導に当たって $\sigma - \lambda \sigma_p$, $2 - \lambda \sigma_p$ がそれぞれ面垂直関係にあることを條件として追加した。各量代の至表示にならうて、試料載荷重からその深さにある厚さ z に働く体積力は(4)式で示された。Taylorと同じ考へ方で側面摩擦抵抗力を試料載荷重に等しりに換算する。

$$\frac{\partial \sigma}{\partial z} = \sigma - \frac{\partial \sigma}{\partial z}, \quad f = \frac{\partial \sigma}{\partial z} \cdot F dz, \quad \therefore \quad i = \frac{\partial \sigma}{\partial z} = \frac{1}{\sigma_0} \left[\frac{\partial \sigma}{\partial z} + 2 \frac{A}{H} F \right] \quad \dots \dots \dots (2)$$

更に先行荷重を考慮して(2)式は(4)式となる。即ち試料と土と水混ると膨脹圧が側面に作用するので(側方拘束のため発生) $i = \frac{1}{\sigma_0} \left[\frac{\partial \sigma}{\partial z} + 2 \frac{A}{H} (F + R) \right]$ (4)

(4)式に(1)式の関係を入れて、 σ を新しい荷重が載荷される前の荷重、 R を試料の先行荷重、 λ を新

\$\therefore\$ 1< 載荷率の荷重とL, \$n_0 = \frac{P_0}{P_c}\$, \$n_0 = \frac{P_0}{P_c}\$, \$u = \frac{P_0}{P_c} \cdot \alpha = \frac{P_0 - \epsilon_0}{P_c - \epsilon_0}\$ とおくと (6), (16) 式が成り立つ。

$$\bar{P}_0 = P_0 \left[\left(1 + \frac{1}{n_0}\right) e^{-2A \frac{P_0}{H}} - \frac{1}{n_0} \right] \quad \dots \dots (5)$$

$$\bar{P} = \bar{P}_0 + \alpha P u \quad \text{or} \quad \bar{P} = \bar{P}_0 + \alpha P u = P_0 \left[\left(1 + \frac{1}{n_0}\right) e^{-2A \frac{P_0}{H}} - \frac{1}{n_0} + n u \right] \quad \dots \dots (6)$$

$$\bar{P} + P_c = P_0 \left[\left(1 + \frac{1}{n_0}\right) e^{-2A \frac{P_0}{H}} + n u \right] \quad \dots \dots (7)$$

\$k_n P = a + bE\$ の関係から, \$u\$ と \$\alpha\$ の間には \$n u = (1+n)^2 - 1\$ が導かれる。(5), (6), (7) 式を (4) 式に代入して,

$$i = \frac{P_0}{\sigma_0} \left[k_n (1+n) (1+n)^2 \frac{\partial \alpha}{\partial E} + 2 \frac{A}{H} \left\{ (1+n)^2 - 1 \right\} \right] \quad \dots \dots (8)$$

又 \$k_n k = a' + b'E\$ の関係より \$k = k_0 (1-n)^2\$ が導かれる, \$\therefore k = n^2 \frac{a' b'}{k_0}\$ である。

$$v = k \alpha \quad \text{or} \quad v = \frac{k_0 k}{\sigma_0} \left[\frac{\partial \alpha}{\partial E} \cdot k_n (1+n) (1+n)^2 + 2 \frac{A}{H} \left\{ (1+n)^2 - 1 \right\} \right] (1-n)^2 \quad \dots \dots (9)$$

\$k_n P = a + bE\$, \$k_n k = a' + b'E\$ 満足し, \$C_0\$ 一定の条件下は \$B_n = (1+n)(1-n) = 1.0\$ であるから

$$\frac{\partial v}{\partial E} = \frac{P_0 k_0}{\sigma_0} \left[\frac{\partial \alpha}{\partial E} + 2 \frac{A}{H} \frac{1}{(1+n)^2} \frac{\partial \alpha}{\partial E} \right] \quad \dots \dots (10)$$

$$\frac{\partial \alpha}{\partial E} = \frac{1}{P_c - \epsilon_0} \frac{\partial \epsilon}{\partial E} \quad \text{or} \quad \frac{\partial \epsilon}{\partial E} = (E_3 - \epsilon_0) \frac{\partial \alpha}{\partial E} \quad \dots \dots (11)$$

$$\therefore \epsilon_3 - \epsilon_0 = \frac{1}{P_c} k_n (1+n), \quad \frac{\partial \epsilon}{\partial E} = \frac{1}{P_c} (= m u) \quad \text{であるから} \quad \dots \dots (12)$$

$$\frac{\partial \alpha}{\partial E} = \frac{k_0 P_0 b}{\sigma_0} \left[\frac{\partial \alpha}{\partial E} + 2 \frac{A}{H} \frac{1}{(1+n)^2} \frac{\partial \alpha}{\partial E} \right] \quad \dots \dots (13)$$

$$= \frac{k_0}{\sigma_0 m_0} \left[\frac{\partial \alpha}{\partial E} + 2 \frac{A}{H} \frac{1}{(1+n)^2} \frac{\partial \alpha}{\partial E} \right] \quad \dots \dots (14)$$

$$\therefore \frac{\partial \alpha}{\partial E} = C_0 \left[\frac{\partial \alpha}{\partial E} + 2 \frac{A}{H} \frac{1}{(1+n)^2} \frac{\partial \alpha}{\partial E} \right] \quad \dots \dots (15)$$

(9)式は側面摩擦の働く一軸圧縮試験結果の解析に用いられる一軸圧縮試験方程式である。以下増加率

を式に代入し、歪の表示によるものである。

圧縮最終状態(一次圧縮終了)は(9)式において \$v = 0\$ の条件より、歪の分布は(16)式で与えられる、

$$u = e^{-2A \frac{P_0}{H}} \quad \dots \dots (16)$$

\$\therefore\$ で、実定りの最終値の式は

$$\bar{P} = P_0 \left[\left(1 + \frac{1}{n_0}\right) e^{-2A \frac{P_0}{H}} - \frac{1}{n_0} + n e^{-2A \frac{P_0}{H}} \right] \quad \dots \dots (17)$$

$$\text{or} \quad \bar{P} = P_0 \left[\left(1 + \frac{k}{P_0}\right) e^{-2A \frac{P_0}{H}} - \frac{k}{P_0} \right] \quad \therefore \bar{P} = P_0 + \alpha P \quad \dots \dots (18)$$

歪の分布は(16)式と(17)式より

$$\alpha = \frac{\ln \left[1 + n e^{-2A \frac{P_0}{H}} \right]}{\ln (1+n)} \quad \dots \dots (19)$$

Routine testで求められた \$m_0\$ 摩擦係数(および荷重増加率)の影響を除くための修正係数は \$\frac{P_{cor}}{P}\$ である

$$\frac{m_{vc}}{m_0} = \frac{1}{\left\{ \frac{1}{2A} (1 - e^{-2A}) - \left[1 - \frac{1}{2A} (1 - e^{-2A}) \right] \left(1 + \frac{1}{n_0} \right) \right\}} \quad \dots \dots (20)$$

\$n = 1.0\$ として Routine testは

$$\frac{m_{vc}}{m_0} = \frac{1}{\left\{ \frac{1}{2A} (1 - e^{-2A}) - \left[1 - \frac{1}{2A} (1 - e^{-2A}) \right] \left(1 + \frac{1}{n_0} \right) \right\}} \quad \dots \dots (21)$$

$$\frac{P_{cor}}{P} = \left[1 + \frac{1}{2n_0} \right] \frac{1}{A} (1 - e^{-2A}) - \frac{1}{2n_0} \quad \dots \dots (22)$$

式(21)および(22)で与えられるように試験の先行荷重の大きさが大まかに影響するから、現場の \$m_0\$ の決定には先行荷重が大まかに超過して、\$\frac{1}{n_0} \rightarrow 0\$ と考えられる荷重に \$\log m_{vc} - \log P_0\$ を修正して用いるべきである。先行荷重近くては \$m_0\$ は 1.3 程度の値に又 \$\frac{1}{n_0} \rightarrow 0\$ では 1.10 ~ 1.05 程度の値になるのが普通である。

\$C_0\$ については(15)式でわかるように、荷重増加率および側面摩擦の大きさが大まかに影響するが、先行荷重には全く影響されないことが判る。Routine testでは \$n = 1.0\$ であるから(22)式は次のようになる。

$$\frac{\partial \alpha}{\partial E} = C_0 \left[\frac{\partial \alpha}{\partial E} + 2 \frac{A}{H} \frac{1}{2A} \frac{\partial \alpha}{\partial E} \right]$$

以上のように側面摩擦を考慮した圧密基礎方程式が求められ、側面摩擦係数が大きければ圧密係数、体積圧縮係数が側面摩擦の影響を除いて求めることが出来る。又慣行試験結果から修正係数を乗じてこれを導くことも出来る。これ等の式から次のことが云える。

- 1) 慣行解析法による変位修正量は側面摩擦の大きさに影響され、側面摩擦が大きい程修正量は大きくなる。
- 2) 側面摩擦が大きい程圧密沈下曲線(時間)は Terzaghi 型からずれて、遅れてくるが最終沈下量も少なくなり見掛けの速度は速くなり T_{90} は小さくなる。
- 3) 側面摩擦の影響は荷重増加率が大きくなる程小さくなる。
- 4) 圧密最終沈下(圧密最終)の試料の平均歪は側面摩擦が大きい程小さく、荷重増加率が大きい程側面摩擦のなり故程に小さく。
- 5) 側面摩擦の影響を除いた体積圧縮係数を求めるには先行荷重の影響を考慮すべきである。

以上5項目については今後何れも実験結果から云はれていることであるが、それ等が何故かと言うことがはっきりした。例へば変位修正量が Taylor の式(空気水の圧縮だけではない)と、荷重増加率が大きくなると Terzaghi 曲線に近づくことの原因がかなり明瞭になってきた。修正を行うと体積圧縮係数は大きくなるが、歪率が故に小さくなる。現場観測では C_v は大きい例が多い、これは地盤の体積圧縮係数が深さとともに小さくなること、圧密初期・中期では沈下量は主に上層、中層の体積圧縮係数によって決まること(見掛け上)のことも平均圧縮係数で計算するよりも圧密速度は大きくなる筈である。ほぼこのことから、これは今後更に研究を続けていく予定である。

表1 図 M_v 修正係数- f 関係図

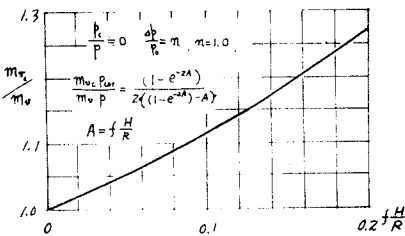
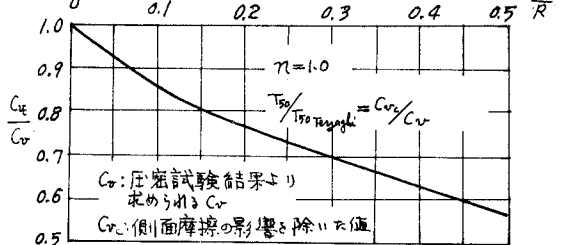
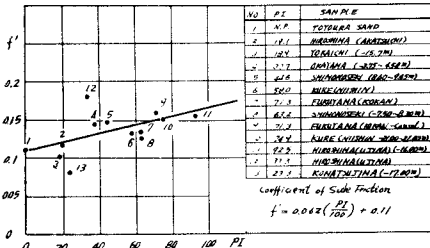


表2 図 C_v 修正係数- f/H 関係図



Relation between Coefficient of Side Friction and Plasticity Index



Relation between Side Friction and Re-Load

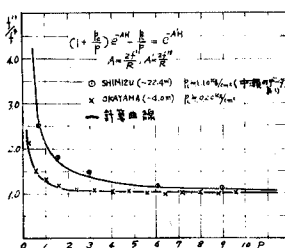


表1図及び表2図は側面摩擦の影響を除くための修正係数を示している。表3図は塑性指数と側面摩擦係数との関係をプロットしたものである。この関係から側面摩擦係数を

簡単に推定出来る。先行荷重が大きく k/p が充分小さい時は M_v および C_v はそれぞれ(2)式、(3)式によって計算することが必要である。 k/p の値をパラメーターとした修正図も現在作製中である。しかし一般に正規圧密粘土での先行荷重は推定できるが過圧密については困難であるし、Virgin slope 以前の荷重については上記の考え方に疑問があることは基礎方程式の誘導の条件から明らかである。